

神戸市 正員 ○今里 均  
 神戸大学工学部 正員 松梨 順三郎

### 1. はじめに

Wall Turbulenceにおける大スケール乱れについては、Theodorsen(1961)によって馬蹄型渦モデルが示唆されて以来、可視化手法を用いた多くの実験的研究がなされてきた。その結果、スケールの大きな乱れは必ずしも無秩序なものではなくある特定の幾何学的な構造をしており、流れの場におけるその時間的・空間的配置は一定の規則に従っていると推測されてきている。また、それらの研究をふまえて、Kline<sup>11,22</sup>(1967, 1975)、Laufer<sup>33</sup>(1975)、宇民・上野<sup>44</sup>(1976)はせん断乱流場のモデル化を試みているが、これらのモデルはいずれも馬蹄型渦を基本とするものである。本研究では、馬蹄型渦の存在を確認することを目的として水素気泡法による可視化実験を行なった。

### 2. 実験結果および考察

実験は、幅30cm、長さ6mの矩型断面滑面水路で行ない、水理条件は流量226l/sec、水深6.72cm、断面平均流速11.32cm/sec、摩擦速度0.68cm/sec、レイノルズ数4400である。

図-1は、スプレー式油性塗料を用いて2mm間隔に絶縁した直径0.65μmの水素気泡発生用白金線を水路底に平行、流れ方向に垂直に張り、10Hzのパルス電圧を加えることによって、ブロック状の水素気泡を発生させ、それを1秒間に4コマの連続撮影を行なった写真のうちの一例である。この写真から、発生した気泡が流れ方向に垂直な横方向の速度成分によって、Kline<sup>5</sup>が報告したいわゆる low-speed streak が観察される領域へ集められてくる様子が見られる。このとき、白金線の高さは水路底から0.5mm( $y^*=2.8$ )であった。図-2は、上述のようにして撮影した写真のそれぞれについて、白金線のすぐ下流に見られるブロック状水素気泡の頂点と、それより1回前のパルス電圧によって生じたブロック状水素気泡における対応する頂点とを矢線で結んだものである。この矢線は厳密にはオイラー的流速でもラグランジュ的流速でもないが、各位置におけるある種の瞬間流速とみなすことができるであろう。なお、写真から low-speed streak が明確に判別される位置を図中に↑で示した。low-speed streak が見られる領域では流れ方向の流速が小さばかりではなく、両側にある気泡がその領域に集められること、また、このような条件を満足していくても必ずし



図-1 ブロック状水素気泡

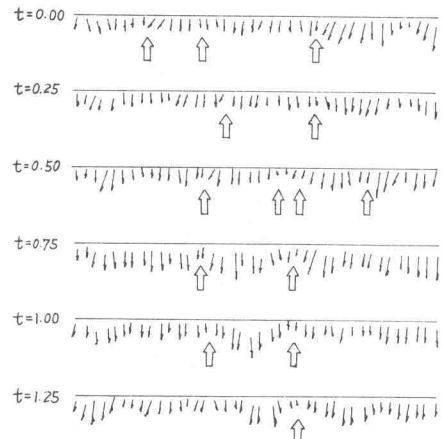


図-2 瞬間流速と streak との関係

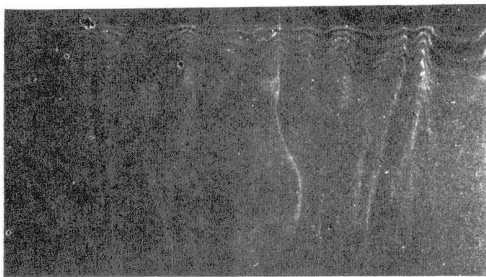


図-3

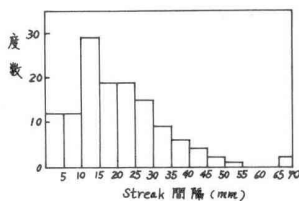


図-4 Streak 間隔の度数分布

も明確な streak として可視化されないこと、などが指摘できる。ただし、streak が可視化されないことについては、実験の際における lighting などをさらに検討する必要があるかもしれない。

図-3は絶縁していい白金線を用いて図1と同様な方法で撮影した写真である。このとき、白金線の高さは水路底から  $1.0 \text{ mm}$  ( $y_* = 5.7$ ) であった。これらの一連の写真から読み取った水路横断方向についての low-speed streak の間隔の度数分布は図-4に表わされている。平均間隔は  $20.8 \text{ mm}$  で、その無次元量  $\bar{\lambda}_* \equiv \bar{\lambda} U_* / v = 120$  は Kline <sup>1)</sup> が報告している  $\bar{\lambda}_* = 100$  とほぼ一致する。ところで、図-3を詳細に観察すると左方に低速の領域をはさんだ一対の streak が見られる。この現象は他の写真においてもしばしば見られたもので、Wall Turbulence の一つの特徴であると思われる。このことは馬蹄型渦モデルと次のように関連づけることができる。馬蹄型渦モデルでは渦の脚部が流れの方向に對になって並んでいるが、対になつた渦のまわりの流れはポテンシャル理論によつて図-5のようにならべられる。もちろん、いま考えているのは粘性の影響が大きい壁面付近であるから、図-5に描かれた流れのパターンがそのまま実際の流れに当てはまるとは考えられないけれども、おちぞっぽな傾向はさほど変わらないと思われる。さて、図-5の破線で示された位置に白金線を張るとすれば、発生した水素気泡は水路底に平行で流れ方向に垂直な速度成分によって 2つの渦にはさままれた領域に集められてくるであろう。そして、その領域の中央部よりもむしろ両端の渦のすぐ内側の方が水素気泡は稠密となるであろう。図-3に見られる対になった streak はこのような稠密な水素気泡が可視化されたものと考えられる。逆に、対になつた streak が観察されたことが馬蹄型渦の実在性についての可能性を示すつもりであるといえよう。

したがつて、streak の間隔を読み取つてそれに統計的処理をほどこすだけでは、たとえ前述のようにも  $\bar{\lambda}_* \approx 100$  の普遍性が見出だされるにしてもそれだけでは不十分であつて、モデルとの有機的な対応づけを考えていく必要がある。しかしながら、観察される streak のすべてが対になつてはゐわけではなく、また、白金線を固定しておいても馬蹄型渦との位置関係は図-5に描かれたままの状態でいるのではなく時々刻々と変化するから、さまざまにパターンの streak が現われ、モデルとの対応を目的とした適切な量的評価はいまのところ困難である。今後、観察される streak のパターンを馬蹄型渦と白金線との相対的位置関係から説明するという試みが必要であると思われる。

#### 参考文献

- 1) Kline, S. J 他: J. Fluid Mech., Vol 30. part 4. 1967
- 2) Kline, S. J 他: J. Fluid. Mech., Vol 70. part 2. 1975
- 3) Laufer, J : Ann. Rev. Fluid. Mech., Vol 7. 1975
- 4) 宇民・上野: 土木学会年講, 1976

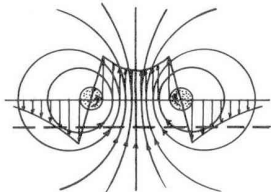


図-5 一対の渦のまわりの流れ